

**ເສັ້ນຕອບສນອງຕ່ອແສງຂອງກະເພງໄກຍໄດ້ຄວາມເຂັ້ມຂຶ້ນຂອງຄາຮົບອນໄດ້ອອກໄໃຊດໍລາຍຮະດັບ  
Photosynthetic Light-Response Curve of Holy Basil (*Ocimum tenuiflorum* L.) under Different  
Levels of CO<sub>2</sub> Concentrations**

**ວິສັນຕິ ປານນິມ<sup>1,2</sup> ວິນ້າຍ ອຸດໜາວ<sup>1,2\*</sup> ອຸນູ້ຈາ ວົງສີປຣານີກຸລ<sup>3</sup> ຮສຣິນ ມັກກະໂຮທ້າຍ<sup>1,2</sup>  
ວັນນິສາ ພູລເດືອ<sup>3</sup> ຈຸຖາມນີ ເວີຍງວິຮະຫາຕີ<sup>4</sup> ແລະ ສຣວິສ ສີທົມໂຮຮມ<sup>4</sup>**

**Wason Pannim<sup>1,2</sup>, Winai Utkhao<sup>1,2\*</sup>, Anucha Wongpraneekul<sup>3</sup>, Rossarin Mongkarothai<sup>1,2</sup>,  
Wannisa Pooldesh<sup>3</sup>, Jutamanee Wiangwirachat<sup>4</sup> and Sorawit Sittitham<sup>4</sup>**

Received: October 19, 2023

Revised: December 6, 2023

Accepted: December 12, 2023

**Abstract:** Light intensity and atmospheric CO<sub>2</sub> concentration (C<sub>a</sub>) play important roles in plant photosynthesis. The objectives of this research were to determine the light and CO<sub>2</sub> requirements for maximal photosynthesis and to investigate the effect of elevated C<sub>a</sub> on photosynthesis process in holy basil (*Ocimum tenuiflorum* L. 'OC059'). We examined the response of photosynthetic rate under the different levels of light intensity from 0–2500 μmolPPF m<sup>-2</sup> s<sup>-1</sup> and C<sub>a</sub> from 400–1600 μmolCO<sub>2</sub> mol<sup>-1</sup>. The result indicated that the maximum gross photosynthetic rate (A<sub>max</sub>) of holy basil was 35.0 μmolCO<sub>2</sub> m<sup>-2</sup> s<sup>-1</sup> at ambient C<sub>a</sub> (400 μmolCO<sub>2</sub> mol<sup>-1</sup>). The light saturation point (I<sub>s</sub>) where the net photosynthetic rate (A) reached its maximum was 918.1 μmolPPF m<sup>-2</sup> s<sup>-1</sup> and the light compensation point (I<sub>c</sub>) was 64.6 μmolPPF m<sup>-2</sup> s<sup>-1</sup>. Increasing C<sub>a</sub> induced stomatal closure in holy basil, the stomatal conductance (g<sub>s</sub>) decreased markedly with elevating the level of C<sub>a</sub>. The A<sub>max</sub> and I<sub>s</sub> increased with increasing C<sub>a</sub>, whereas the quantum efficiency (φC) and dark respiration rate (R<sub>d</sub>) decreased. The optimal level of C<sub>a</sub> for enhancing maximal photosynthesis in holy basil was 1000 μmolCO<sub>2</sub> mol<sup>-1</sup>.

**Keywords:** Holy basil, photosynthesis, light response curve, elevated CO<sub>2</sub> concentration

<sup>1</sup> ສູນຍົກໂຄໂນໂລຢີ້ຊີວັກພະເກົດ ມາວິທາລ້ຽນເກົດຄະດີ ວິທາເຊຕຳແພັນ ຈ.ນຄຽມ 73140

<sup>1</sup> Center for Agricultural Biotechnology, Kasetsart University, Kamphaeng Saen Campus, Nakhon Pathom, 73140, Thailand

<sup>2</sup> ສູນຍົກຄວາມເປັນເລີສີດໍານັກໂຄໂນໂລຢີ້ຊີວັກພະເກົດ ສໍານັກງານປັດກະທຽວກາຊຸດມືກົາ ວິທາສາສຕ່ວິຈີຍແລະນວຕກຽມ ກຸງເທິງ  
10900

<sup>2</sup> Center of Excellence on Agricultural Biotechnology: (AG-BIO/MHESI), Bangkok 10900, Thailand

<sup>3</sup> ສູນຍົກວິຈີຍແລະພື້ນນາພື້ນຖານ ກາຄວິຫາພື້ນສວນ ຄະນະເກົດ ກຳແພັນ ມາວິທາລ້ຽນເກົດຄະດີ ວິທາເຊຕຳແພັນ  
ນຄຽມ 73140

<sup>3</sup> Tropical Vegetable Research Center, Department of Horticulture, Faculty of Agriculture at Kamphaeng Saen, Kasetsart University, Kamphaeng Saen Campus, Nakhon Pathom, 73140, Thailand

<sup>4</sup> ສາຂາວິຫາເທິກໂນໄລຢີ້ຊີວັກພາກທາງການເກົດ ຄະນະເກົດ ກຳແພັນ ມາວິທາລ້ຽນເກົດຄະດີ ນຄຽມ 73140

<sup>4</sup> Program in Agricultural Biotechnology, Faculty of Agriculture at Kamphaeng Saen, Kasetsart University, Kamphaeng Saen Campus, Nakhon Pathom, 73140, Thailand

\*Corresponding author: winai.ut@ku.th

**บทคัดย่อ:** ระดับความเข้มแสงและความเข้มข้นของคาร์บอนไดออกไซด์ในอากาศ ( $C_a$ ) มีบทบาทสำคัญต่อกระบวนการสังเคราะห์แสงของพืช งานวิจัยนี้มีวัตถุประสงค์เพื่อประเมินระดับความต้องการแสงและคาร์บอนไดออกไซด์ที่ทำให้ใบกะเพราเมื่อตราช้างสังเคราะห์แสงสูงสุด และศึกษาอิทธิพลของระดับ  $C_a$  ที่เพิ่มขึ้นต่อกระบวนการสังเคราะห์แสง โดยใช้กะเพราพันธุ์ OC059 เป็นพืชทดลอง ศึกษากระบวนการสังเคราะห์แสงภายใต้ความเข้มแสงหลายระดับในช่วง  $0-2500 \mu\text{molPPF m}^{-2} \text{s}^{-1}$  และความเข้มข้นของ  $C_a$  หลายระดับในช่วง  $400-1600 \mu\text{molCO}_2 \text{ mol}^{-1}$  ผลการศึกษาพบว่า ที่ระดับ  $C_a$  ของอากาศปกติที่  $400 \mu\text{molCO}_2 \text{ mol}^{-1}$  ในกะเพราเมื่อตราช้างสังเคราะห์แสงสูงสุด ( $A_{max}$ ) เท่ากับ  $35.0 \mu\text{molCO}_2 \text{ m}^{-2} \text{s}^{-1}$  มีค่าความเข้มแสงอิมิตตัว (I<sub>irr</sub>) ซึ่งเป็นระดับความเข้มแสงที่ทำให้อัตราสังเคราะห์แสงสูงที่สุด ( $A$ ) เพิ่มขึ้นสูงสุด เท่ากับ  $918.1 \mu\text{molPPF m}^{-2} \text{ s}^{-1}$  และมีค่าจุดขาดเชยแสง ( $I_c$ ) เท่ากับ  $64.6 \mu\text{molPPF m}^{-2} \text{ s}^{-1}$  การเพิ่มขึ้นของระดับ  $C_a$  ชักนำให้ปากใบของกะเพราปิดแอบลงมากขึ้น โดยค่าน้ำให้ปากใบ ( $g_s$ ) ลดลงตามระดับ  $C_a$  ที่เพิ่มสูงขึ้น ทั้งค่า  $A_{max}$  และ  $I_c$  มีค่าเพิ่มขึ้น ในขณะที่ค่าประสิทธิภาพการใช้แสง ( $\phi$ ) และอัตราหายใจในความเมียด ( $R_d$ ) มีระดับลดลง เมื่อค่า  $C_a$  เพิ่มขึ้น โดยระดับ  $C_a$  ที่เหมาะสมต่อการชักนำให้กะเพราเมื่อตราช้างสังเคราะห์แสงสูงสุด คือ  $1000 \mu\text{molCO}_2 \text{ mol}^{-1}$

**คำสำคัญ:** กะเพรา, การสังเคราะห์แสง, เส้นตอบสนองต่อแสง, ความเข้มข้นของคาร์บอนไดออกไซด์ที่เพิ่มขึ้น

## คำนำ

กะเพรา (*Ocimum tenuiflorum L.*) เป็นพืชผักที่มีความต้องการบริโภคสูง และใช้ในคุณสมบัติทางยา อาหาร เช่น อาหารสำเร็จรูปพร้อมรับประทาน อาหารเบรรี่ และอาหารแข็งเป็นอย่างมาก (Imaizumi *et al.*, 2021; Raksakantong *et al.*, 2011) แม้ว่าในปัจจุบันมีการปลูกกะเพราเชิงการค้ากันอย่างแพร่หลาย แต่ข้อมูลและรูปแบบการจัดการปัจจัยการผลิตของกะเพรา เพื่อยกระดับกำลังผลิตให้เต็มศักยภาพของพืชยังมีอยู่อย่างจำกัด โดยเฉพาะข้อมูลความต้องการสภาพอากาศ (climatic requirements) เพื่อใช้ในการจัดการให้อิ่มต่อการเจริญเติบโตและการสร้างผลผลิตของกะเพราอย่างมีศักยภาพ ศักยภาพอากาศที่สำคัญ คือ แสง และกําชคาร์บอนไดออกไซด์ ( $CO_2$ ) ซึ่งเป็นปัจจัยหลักสำหรับใช้ในกระบวนการสังเคราะห์แสงของพืชเพื่อการเติบโต การสร้างมวลชีวภาพ และการสร้างผลผลิต (Gestel *et al.*, 2005; Simkin *et al.*, 2015) วัตถุประสงค์ของงานวิจัยนี้ ต้องการศึกษาอิทธิพลของความเข้มแสง และระดับของ  $CO_2$  ในอากาศ ต่ออัตราการสังเคราะห์แสงของใบกะเพรา โดยใช้กะเพราพันธุ์ OC059 เป็นพืชทดลอง ซึ่งมีลักษณะใบใหญ่ มีกลิ่นหอม และให้ผลผลิตสูง ถือเป็นพืชที่มีความสามารถในการสังเคราะห์แสงสูง ให้ผลผลิตสูง สามารถใช้ประโยชน์ทางเศรษฐกิจได้ดี

ผลิตเชิงการค้าโดยศูนย์วิจัยและพัฒนาพืชผักเขตวิทยาลัยเกษตรศาสตร์วิทยาเขตกำแพงแสน (Wongpraneekul *et al.*, 2022) โดยข้อมูลที่ได้จาก การทดลองในครั้งนี้สามารถใช้เป็นข้อมูลพื้นฐานในการพัฒนารูปแบบและเทคนิคเชิงปฏิบัติการในการจัดการแสงและระดับ  $CO_2$  ให้ตรงตามความต้องการของกะเพรา เพื่อเพิ่มศักยภาพในการสังเคราะห์แสง และยกระดับผลผลิตพืช นอกจากนี้ยังสร้างความเข้าใจกับนักวิชาการและผู้ผลิตที่สนใจในกระบวนการผลิตกะเพรา ที่เพิ่มสูงขึ้นจากผลกระทบของการเปลี่ยนแปลงสภาพอากาศของโลก (climate change) อีกด้วย

## อุปกรณ์และวิธีการ การเตรียมต้นพืชทดลอง

ในการศึกษารั้งนี้ได้ปลูกต้นกะเพราพันธุ์ OC059 ในโรงเรือนมุ้งตาข่าย ตั้งอยู่ที่ศูนย์วิจัยและพัฒนาพืชผักเขตวิทยาเขตกำแพงแสน มหาวิทยาลัยเกษตรศาสตร์ วิทยาเขตกำแพงแสน จังหวัดนครปฐม โดยเพาะเมล็ดในวัสดุปูกลูกพิทอมสูงประมาณ 30 วัน จึงย้ายปลูกในวัสดุปูกลูกที่ประกอบด้วยทราย ชุบมะพร้าว และข้าวเกราด proportion 1:1:1 โดยปริมาตร ในกระถางขนาดเส้นผ่านศูนย์กลาง 12 นิ้ว ให้น้ำพร้อมกับปุ๋ย (fertilization)

ผ่านทางระบบนำ้หายด ประกอบด้วย ปุ่ยผสมสูตร 15-5-20 ปริมาณ 0.03 กรัมต่อต้นต่อวัน แมgnีซีเมน ซัลเฟตເเปptate ไฮเดรต ( $MgSO_4 \cdot 7H_2O$ ) ปริมาณ 0.04 กรัมต่อต้นต่อวัน แคลเซียมคลอไรด์ ( $CaCl_2$ ) ปริมาณ 0.07 กรัมต่อต้นต่อวัน และจุลธาตุรวม UNILATE FC ปริมาณ 0.01 กรัมต่อต้นต่อวัน ให้ น้ำแก่ต้นพืชวันละ 600 มิลลิลิตรต่อต้นต่อวัน ติดตั้งสถานีอากาศ (WatchDog Mini-Weather Stations รุ่น 2475, Spectrum Technologies Inc., USA) ที่ระดับสูงจากพื้น 2 เมตร เพื่อเก็บข้อมูลสภาพอากาศภายในโรงเรือนตลอดเวลาที่ทำการทดลอง ตั้งแต่เดือนมิถุนายนถึงสิงหาคม 2566 โดยความเข้มแสงในช่วงกลางวัน (6–18 น.) ภายในโรงเรือนมีค่าเฉลี่ย 440.0  $\mu\text{molPPF m}^{-2} \text{s}^{-1}$  อุณหภูมิอากาศเฉลี่ยในช่วงกลางวัน 32 องศาเซลเซียส ความชื้นสัมพัทธ์ของอากาศช่วงกลางวัน เฉลี่ย 68% และกลางคืน เฉลี่ย 84% เส้นตอบสนองต่อแสง

นำต้นกะเพราที่มีอายุต้น 57 วัน ซึ่งอยู่ในระยะการเจริญเติบโตทางลำต้น (vegetative stage) มาทำการประเมินกระบวนการสังเคราะห์แสงของใบกะเพราโดยวัดเส้นตอบสนองต่อแสง (photosynthetic light-response curve) ที่ระดับความเข้มข้นของ  $CO_2$  ในอากาศ 6 ระดับ วัดใบกะเพราในลำดับที่ 3 นับจากปลายยอด ซึ่งมีค่าดัชนีความเขียว (SPAD index) อยู่ในช่วง 40–45 ในช่วงเวลา 8–12 น. วัดใบด้วยเครื่องวัดอัตราแลกเปลี่ยนแก๊สระบบเปิด (LI-6800, Licor Inc., USA) ใช้วัดแบบ multiphase flash fluorometer chamber (6800-01A) ตั้งให้อุณหภูมิภายในหัววัดคงที่ที่ 28 องศาเซลเซียส ความชื้นสัมพัทธ์อยู่ในช่วง 65–70% อัตราเร็วของอากาศที่ไหลผ่านใบ 400  $\mu\text{mol s}^{-1}$  ขั้นตอนการวัด เริ่มที่ความเข้มข้นของ  $CO_2$  ในอากาศ (air  $CO_2$  concentration,  $C_a$ ) ที่ระดับหนึ่ง วัดอัตราแลกเปลี่ยนแก๊สภายใต้ระดับความเข้มแสง (photosynthetic photon flux, PPF) ที่ปรับลดลงเป็นขั้นทั้งหมด 14 ระดับ ตั้งแต่ 2500 จนถึง 0  $\mu\text{molPPF m}^{-2} \text{s}^{-1}$  หลังจากวัดเส้นตอบสนอง

ต่อแสงหนึ่งแล้ว จึงปรับเปลี่ยน  $C_a$  เพิ่มขึ้นอีกที ละระดับ รามทั้งหมด 6 ระดับ คือ 400, 600, 800, 1000, 1200 และ 1600  $\mu\text{molCO}_2 \text{ mol}^{-1}$  เครื่องมือให้ค่าอัตราสังเคราะห์แสงสุทธิ (net photosynthetic rate, A) อัตราหายใจ (transpiration rate, E) และค่านำ้ให้หลักใน ( $g_s$ ) คำนวณค่าประสิทธิภาพการใช้แสงของระบบแสงสอง (Photosystem II, PSII) จากค่าปริมาณรังสีฟลูออเรสценต์ในขณะที่ใบได้รับแสงขณะนั้น (steady-state fluorescence,  $F_s$ ) และปริมาณรังสีฟลูออเรสценต์สูงสุดในขณะที่ใบได้รับความเข้มแสงสูงมาก (maximum fluorescence,  $F_m'$ ) คำนวณค่าประสิทธิภาพการใช้แสงของ PSII ในขณะที่ใบได้รับแสง (light-adapted quantum efficiency of PSII,  $\phi_{PSII}$ ) ได้ว่า  $\phi_{PSII} = (F_m' F_s) / F_m'$  และคำนวณอัตราเคลื่อนย้ายอิเล็กตรอน (electron transport rate, ETR) ได้ว่า  $ETR = \phi_{PSII} x f \times I \times \alpha_{leaf}$  เมื่อ  $f$  คือ สัดส่วนของแสงที่ถูกดูดกลืนโดย PSII เทียบกับ PSI (สำหรับพืช  $C_3$  มีค่า 0.5) | ค่าความเข้มแสงในช่วงคลื่นสำหรับการสังเคราะห์แสง (PPF) และ  $\alpha_{leaf}$  คือ สมประสิทธิ์การดูดกลืนแสงของใบมีค่า 0.85 (Schreiber et al., 1998) ค่าที่ได้ใช้คำนวณสัดส่วนของอัตราเคลื่อนย้ายอิเล็กตรอนต่ออัตราสังเคราะห์สุทธิ (ETR/A) เพื่อการเปรียบเทียบ คำนวณค่านำ้ให้หลักในสูงสุด ( $g_s \text{ max}$ ) และอัตราหายใจสูงสุด ( $E_{max}$ ) โดยเฉลี่ยค่า  $g_s$  และ  $E$  ที่ระดับความเข้มแสง PPF สูงกว่า 1200  $\mu\text{molPPF m}^{-2} \text{ s}^{-1}$  ตามวิธีการของวินัย และคณะ (2559)

#### การประเมินค่าพารามิเตอร์ของเส้นตอบสนองต่อแสง

ความสัมพันธ์ระหว่างอัตราสังเคราะห์แสงสุทธิกับความเข้มแสง อยู่ในรูปของสมการ non-rectangular hyperbola (Thornley and Johnson, 1990) ดังนี้

$$A = \frac{\alpha I + A_{max} - \sqrt{(\alpha I + A_{max})^2 - 4\theta\alpha A_{max}}}{2\theta} - R_d$$

เมื่อ  $\propto$  คือ ประสิทธิภาพการใช้แสง (quantum efficiency) เป็นค่าความชันในช่วงความเข้มแสงต่ำ ( $0\text{--}100 \mu\text{molPPF m}^{-2} \text{s}^{-1}$ )  $\Theta$  คือค่าควบคุมความโค้งของเส้นกราฟ (curvature factor)  $R_d$  คืออัตราหายใจในที่มืด (dark respiration rate)  $A$  คืออัตราสังเคราะห์แสงสุทธิ (net photosynthetic rate) และ  $A_{max}$  คือ อัตราสังเคราะห์แสงสูงสุด (maximum gross photosynthetic rate) คำนวณพารามิเตอร์ต่างๆ ของสมการเส้นตอบสนองต่อแสง ข้างต้นด้วยวิธี non-linear regression โดยใช้ solver ของโปรแกรม Microsoft Excel คำนวณค่าความเข้มแสงอิมตัว (light saturation point,  $I_s$ ) โดยกำหนดเป็นค่าความเข้มแสง เมื่อ  $A = 0.85A_{max}$  และจุด补偿แสง (light compensation point,  $I_c$ ) โดยกำหนดเป็นค่าความเข้มแสงเมื่อ  $A = 0$

#### การวิเคราะห์ข้อมูลทางสถิติ

วิเคราะห์ข้อมูลด้วยโปรแกรมสำเร็จรูป IBM SPSS Statistics 26 วิเคราะห์อิทธิพลของระดับ  $C_a$  ด้วยวิธี one-way analysis of variance (ANOVA) โดยทดสอบระดับนัยสำคัญทางสถิติที่  $p < 0.05$  และเปรียบเทียบค่าเฉลี่ยด้วยวิธี Duncan's New Multiple Range Test

### ผลการทดลองและวิจารณ์ เส้นตอบสนองต่อแสง

ความสัมพันธ์ระหว่างค่าอัตราสังเคราะห์แสงสุทธิ ( $A$ ) กับค่าความเข้มแสง (PPF) หรือเส้นตอบสนองต่อแสงของใบเกษตร ภายใต้ระดับความเข้มข้นของ  $\text{CO}_2$  ในอากาศ ( $C_a$ ) ที่แตกต่างกัน ตั้งแต่  $400\text{--}1600 \mu\text{molCO}_2 \text{ mol}^{-1}$  แสดงลักษณะคล้ายกันแต่มีระดับค่าที่ต่างกัน (Figure 1a) โดยค่า  $A$  เพิ่มขึ้นอย่างรวดเร็วตาม PPF ที่เพิ่มขึ้นในช่วงแรกตั้งแต่ระดับ  $0\text{--}1000 \mu\text{molCO}_2 \text{ mol}^{-1}$  แล้วเริ่มเพิ่มขึ้นอย่างช้าลง ค่า  $A$  มีระดับลู่เข้าสู่ค่าสูงคงที่เมื่อความเข้มแสงถึงจุดอิมตัวแสง ( $I_s$ ) (Figure 1a) ซึ่งเป็นช่วงที่ค่า  $A$  ถูกควบคุมด้วยความเข้มข้นของ  $\text{CO}_2$  (Lang et al., 2013) โดยค่า  $A$  เพิ่มขึ้นตามระดับ  $C_a$  ที่เพิ่มสูงขึ้นในช่วง  $400\text{--}1000 \mu\text{molCO}_2 \text{ mol}^{-1}$  และมีค่าคงที่ในช่วง  $1000\text{--}1200 \mu\text{molCO}_2 \text{ mol}^{-1}$  และมี

ค่าลดลงอย่างมีนัยสำคัญเมื่อระดับ  $C_a$  เท่ากับ  $1600 \mu\text{molCO}_2 \text{ mol}^{-1}$  (Figure 1a) เมื่อเปรียบเทียบค่า  $A$  ของใบเกษตรภายใต้ความเข้มแสง  $2500 \mu\text{molPPF m}^{-2} \text{ s}^{-1}$  พบว่า ค่า  $A_{2500}$  สูงสุดเกิดขึ้นที่ระดับ  $\text{Ca} 1000 \mu\text{molCO}_2 \text{ mol}^{-1}$  มีค่า  $47.3 \mu\text{molCO}_2 \text{ m}^{-2} \text{ s}^{-1}$  และค่า  $A_{2500}$  ต่ำสุดเกิดขณะที่  $\text{C}_a$  อยู่ในระดับอากาศปกติที่  $400 \mu\text{molCO}_2 \text{ mol}^{-1}$  มีค่า  $29.5 \mu\text{molCO}_2 \text{ mol}^{-1}$  (Table 1) แสดงให้เห็นว่า ค่า  $A$  ของใบเกษตรสามารถเพิ่มขึ้นเมื่อได้รับ  $\text{CO}_2$  เพิ่มขึ้นในสภาพที่มีความเข้มแสงเพียงพอ

เมื่อพิจารณาการเปลี่ยนแปลงของค่านำไฟลปากใบ ( $g_s$ ) กับค่า PPF ที่ระดับ  $C_a$  ของอากาศปกติ ( $400 \mu\text{molCO}_2 \text{ mol}^{-1}$ ) พบว่าค่า  $g_s$  เพิ่มขึ้นตาม PPF ตั้งแต่ระดับ  $0\text{--}400 \mu\text{molPPF m}^{-2} \text{ s}^{-1}$  และถูกเข้าสู่ค่าสูงสุดคงที่เมื่อระดับ PPF สูงกว่าระดับนี้ (Figure 1b) โดยที่ระดับ  $C_a 400 \mu\text{molCO}_2 \text{ mol}^{-1}$  นี้ ใบเกษตรมีค่านำไฟลปากใบสูงสุด ( $g_{s max}$ ) เท่ากับ  $782.8 \text{ mmolH}_2\text{O m}^{-2} \text{ s}^{-1}$  และมีค่าอัตราหายน้ำสูงสุด ( $E_{max}$ ) อยู่ที่  $10.3 \text{ mmolH}_2\text{O m}^{-2} \text{ s}^{-1}$  (Table 1) แต่เมื่อระดับ  $C_a$  สูงขึ้นจากระดับอากาศปกติตั้งแต่  $600\text{--}1600 \mu\text{molCO}_2 \text{ mol}^{-1}$  พบว่ารูปแบบการเปลี่ยนแปลงของค่า  $g_s$  และ PPF มีลักษณะที่ต่างกันไป โดยค่า  $g_s$  เพิ่มขึ้นตามระดับ PPF ในช่วง  $0\text{--}400 \mu\text{molPPF m}^{-2} \text{ s}^{-1}$  และได้รับผลกระทบจากความเข้มแสงสูงกว่า  $1200 \mu\text{molPPF m}^{-2} \text{ s}^{-1}$  (Figure 1b) โดย  $g_s$  มีค่าลดลงเมื่อระดับ  $C_a$  เพิ่มสูงขึ้นจากระดับอากาศปกติซึ่งส่งผลให้อัตราหายน้ำ ( $E$ ) ของใบเกษตรลดลงตามไปด้วย (Figure 1c) โดยการเพิ่มขึ้นของ  $\text{CO}_2$  จากระดับอากาศปกติสู่ระดับ  $600, 800, 1000, 1200$  และ  $1600 \mu\text{molCO}_2 \text{ mol}^{-1}$  ส่งผลให้ค่า  $g_{s max}$  ลดลง  $40.9, 51.6, 54.2, 61.0$  และ  $70.4\%$  ตามลำดับและค่า  $E_{max}$  ลดลง  $35.7, 39.3, 46.3, 51.8$  และ  $63.8\%$  ตามลำดับ เมื่อเทียบกับค่าที่ระดับ  $C_a$  ปกติ (Table 1)

การเพิ่มขึ้นของค่า  $A$  และการลดลงของค่า  $E$  ภายใต้ระดับ  $C_a$  เพิ่มขึ้น ส่งผลโดยตรงให้ค่าประสิทธิภาพการใช้น้ำ (WUE) ของใบเกษตรเพิ่มสูงขึ้นตามไปด้วย (Figure 1d) สอดคล้องกับ

การศึกษาอิทธิพลของระดับ  $C_a$  ต่ออัตราแลกเปลี่ยนแก๊สของพืช C3 หลายชนิด ได้แก่ ข้าวบาร์เลย์ (Pérez-López *et al.*, 2009) ทานตะวัน (Vanaja *et al.*, 2011) มะเขือเทศ (Mamatha *et al.*, 2014) และแตงกวा (Li *et al.*, 2022) ที่พบว่า การเพิ่มขึ้นของระดับ  $C_a$  ของอากาศที่ดินพืชสัมผัสจากระดับ

ปกติ ( $400 \mu\text{mol CO}_2 \text{ mol}^{-1}$ ) ส่งผลให้อัตราสั้งเคราะห์แสงของใบเพิ่มขึ้น แต่ซึกระนาikan ใบปีกและแคนบลัง และมีอัตราคายน้ำของใบลดลง และส่งผลต่อเนื่องให้ใบพืชมีค่าประสิทธิภาพการใช้น้ำเพิ่มสูงขึ้น (Barton *et al.*, 2012; Dong *et al.* 2018)

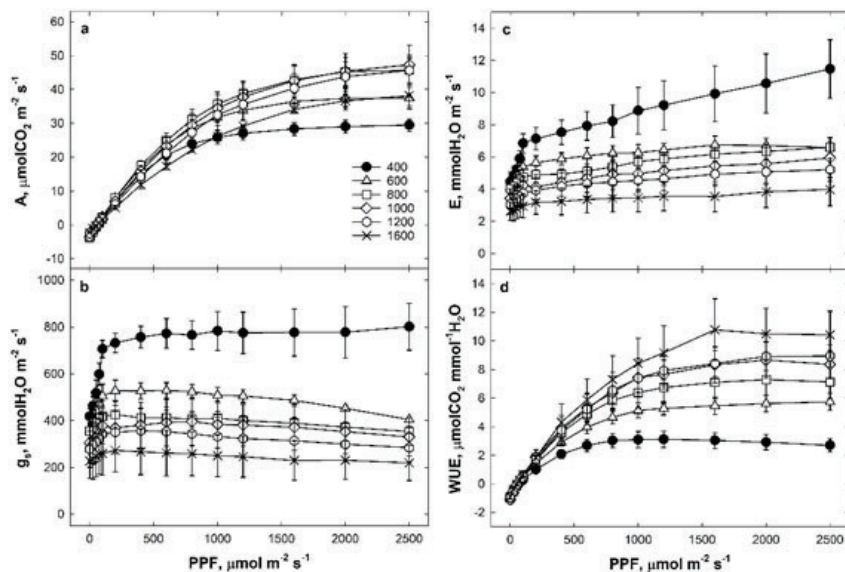


Figure 1 Light response curves of a. net photosynthetic rate (A), b. stomatal conductance ( $g_s$ ), c. transpiration rate (E) and d. water use efficiency (WUE) of holy basil 'OC059' under six levels of  $\text{CO}_2$  concentrations. Values are means  $\pm \text{SE}$  ( $n = 3$ ).

Table 1 Parameters of light response measurement of holy basil 'OC059' under six levels of  $\text{CO}_2$  concentrations ( $C_a$ ). Net photosynthetic rate at PPF 2500  $\mu\text{mol m}^{-2} \text{s}^{-1}$  ( $A_{2500}$ ), maximum stomatal conductance ( $g_{s \max}$ ), and maximum transpiration rate ( $E_{\max}$ ).

Parameters	$C_a, \mu\text{mol CO}_2 \text{ mol}^{-1}$						p-value
	400	600	800	1000	1200	1600	
$A_{2500}, \mu\text{mol CO}_2 \text{ m}^{-2} \text{ s}^{-1}$	29.5 $\pm 1.8^b$	37.5 $\pm 3.1^{ab}$	45.7 $\pm 3.6^a$	47.3 $\pm 5.9^a$	45.7 $\pm 5.4^a$	38.2 $\pm 3.1^{ab}$	**
$g_{s \max}, \text{mmol H}_2\text{O m}^{-2} \text{ s}^{-1}$	782.8 $\pm 99.8^a$	462.3 $\pm 15.6^b$	378.8 $\pm 21.5^b$	358.9 $\pm 50.3^b$	305.4 $\pm 73.4^b$	231.5 $\pm 82.6^b$	**
$E_{\max}, \text{mmol H}_2\text{O m}^{-2} \text{ s}^{-1}$	10.3 $\pm 1.7^a$	6.6 $\pm 0.4^b$	6.3 $\pm 0.5^b$	5.5 $\pm 1.1^b$	5.0 $\pm 0.7^b$	3.7 $\pm 1.0^b$	**

Values are means  $\pm \text{SE}$  ( $n = 3$ ). Means within a row followed by the different letters are significantly different (Duncan's New Multiple Range test,  $p < 0.05$ ). \*\*, statistically significant difference at  $p < 0.05$ ;

### ประสิทธิภาพการใช้แสงของระบบแสงส่อง

ประสิทธิภาพการใช้แสงของระบบแสงส่อง ( $\phi_{\text{PSII}}$ ) ของแต่ละเส้นตอบสนองต่อแสงมีค่าลดลง เมื่อระดับ PPF เพิ่มสูงขึ้น (Figure 2a) และว่าระดับ PPF ที่สูงขึ้นนั้นทำให้สัดส่วนของปริมาณโฟโตอนแสง ที่นำไปใช้ในปฏิกิริยาจากแสง (photochemical reaction) ต่อปริมาณโฟโตอนแสงทั้งหมดที่ไปพิช ดูดรับไว้ในขณะที่ไปได้รับแสงลดลงตาม โดย  $\phi_{\text{PSII}}$  มีค่าลดลงตามระดับ C<sub>a</sub> ที่เพิ่มขึ้น (Figure 2a) ในขณะที่ความสัมพันธ์ระหว่างอัตราเคลื่อนย้าย อิเล็กtron (ETR) กับค่า PPF มีลักษณะคล้าย กันกับความสัมพันธ์ระหว่างค่า A และ PPF (Figure 1a และ 2b) นอกจากนี้ยังพบว่าสัดส่วน

ของอัตราเคลื่อนย้ายอิเล็กtronต่ออัตราสังเคราะห์แสงสูตร (ETR/A) มีค่าลดลงเมื่อระดับ C เพิ่มสูงขึ้น (Figure 2c) สะท้อนว่าพลังงานแสงที่ไปดูดรับไว้อาจถูกนำไปใช้ในกระบวนการกรองที่ไม่เกี่ยวข้องกับกระบวนการสังเคราะห์แสง เช่น กระบวนการหายใจเชิงแสง (photorespiration) ลดลง (Biehler and Fock, 1996) ซึ่งเมื่อสัดส่วนของ CO<sub>2</sub> ต่อ O<sub>2</sub> ในอากาศเพิ่มขึ้น จะส่งผลให้กระบวนการคาร์บอโคซิเจนของเอนไซม์ Rubisco สามารถเกิดได้รวดเร็วขึ้น ในขณะที่กระบวนการออกซิเจนเขียนเกิดลดลง ซึ่งส่งผลต่อเนื่องให้กระบวนการหายใจเชิงแสงของพืช C3 เกิดลดลงหรือช้าลงตามไปด้วย (Bowes, 1993)

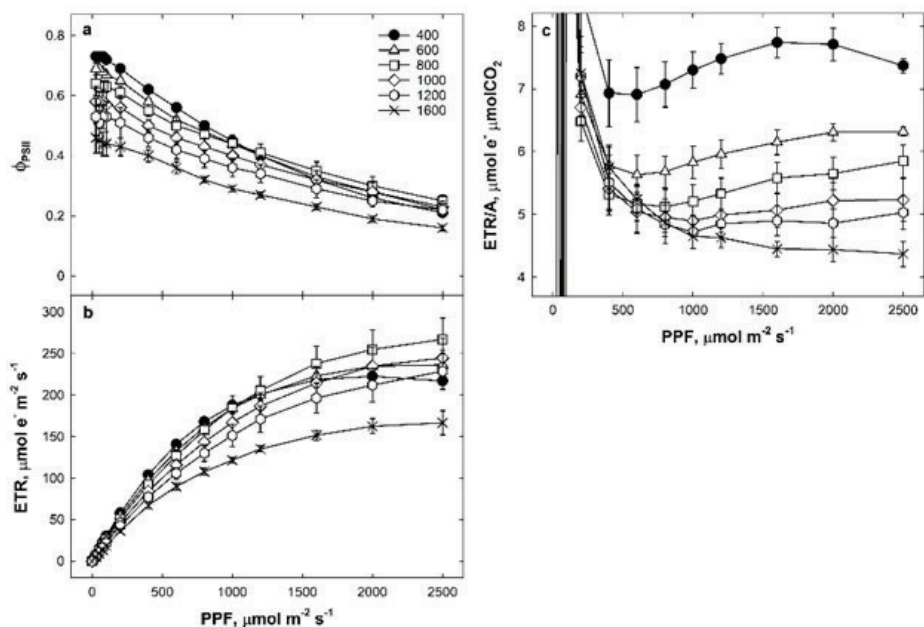


Figure 2 Light response curves of a. quantum efficiency of PSII ( $\phi_{\text{PSII}}$ ), b. electron transport rate (ETR) and c. ratio of apparent electron transport rate to net photosynthetic rate (ETR/A) of holy basil 'OC059' under six levels of CO<sub>2</sub> concentrations. Values are means  $\pm$  SE (n = 3).

### พารามิเตอร์ของเส้นตอบสนองต่อแสง

พารามิเตอร์ที่ได้จากการเข้าวูปสมการเส้นตอบสนองต่อแสง แสดงใน (Table 2) พบว่า ใบกระเพราที่ระดับ C ปกติ (400  $\mu\text{mol CO}_2 \text{ mol}^{-1}$ ) มีค่าประสิทธิภาพการใช้แสง ( $\alpha$ ) เท่ากับ 0.056 ซึ่งใกล้เคียงกับค่า  $\alpha$  ของพืช C3 โดยทั่วไปที่มีค่า 0.05 (Taiz and Zeiger, 2006) มีค่าอัตราสังเคราะห์แสง

สูงสุด ( $A_{\text{max}}$ ) เท่ากับ 35.0  $\mu\text{mol CO}_2 \text{ m}^{-2} \text{ s}^{-1}$  มีค่าความเข้มแสงอิมตัว ( $I_s$ ) ซึ่งเป็นระดับความเข้มแสงที่ทำให้อัตราสังเคราะห์แสงสูตรขึ้นสูงสุด อยู่ที่ระดับ 918.1  $\mu\text{mol IPPF m}^{-2} \text{ s}^{-1}$  และมีค่าจุดขาดแสง ( $I_c$ ) ซึ่งเป็นระดับความเข้มแสงที่ทำให้อัตราสังเคราะห์แสงเท่ากับอัตราหายใจ อยู่ที่ 64.6  $\mu\text{mol IPPF m}^{-2} \text{ s}^{-1}$  (Table 2) ซึ่งค่าพารามิเตอร์ของเส้นตอบสนองต่อแสงของกระเพรา

ที่ประเมินได้สูงกว่าค่าที่วัดได้จากการศึกษาเส้นตอบสนองต่อแสงของพืชในสกุลเดียวกัน เช่น โหระพา (*Ocimum basilicum L.*) ที่มีค่า  $A_{max}$  อุ่นในช่วง 24.9–28.1  $\mu\text{molCO}_2 \text{ m}^{-2} \text{ s}^{-1}$  ค่า  $I_s$  อุ่นในช่วง 419.8–545.3  $\mu\text{molPPF m}^{-2} \text{ s}^{-1}$  และค่า  $I_c$  อุ่นในช่วง 26.5–26.8  $\mu\text{molPPF m}^{-2} \text{ s}^{-1}$  (Park *et al.*, 2016)

ประสิทธิภาพการสังเคราะห์แสงของใบกะเพราสามารถยกระดับให้สูงขึ้นได้เมื่อเพิ่มระดับ  $C_a$  ในอากาศ โดยระดับของ  $\text{CO}_2$  ที่เพิ่มขึ้นจากระดับอากาศปกติที่ 400  $\mu\text{molCO}_2 \text{ mol}^{-1}$  เป็นระดับ 600, 800, 1000, 1200 และ 1600  $\mu\text{molCO}_2 \text{ mol}^{-1}$  ทำให้ค่า  $A_{max}$  เพิ่มขึ้น 26.8, 57.6, 62.9, 49.7 และ 35.8% ตามลำดับ เมื่อเทียบกับค่าที่ระดับ  $C_a$  ปกติ (Table 2) จากผลการทดลองแสดงให้เห็นว่า การเพิ่มระดับ  $C_a$  ที่ 1000  $\mu\text{molCO}_2 \text{ mol}^{-1}$  จะส่งผลให้ใบกะเพรา มีอัตราสังเคราะห์แสงสูงสุด ซึ่งการเพิ่ม  $C_a$  ที่ระดับสูงกว่านี้จะไม่คุ้มทุนต่อการเพิ่มประสิทธิภาพการสังเคราะห์แสงของกะเพรา ซึ่งเป็นผลมาจากการปิดแคนบลงมากของปากใบภาย

ใต้ระดับ  $C_a$  ที่สูงขึ้นมาก (Figure 1a และ Table 1) ทำให้กระบวนการรับออกซิเจนถูกจำกัดด้วยอัตราการแพร่เข้าของ  $\text{CO}_2$  (Sharkey *et al.*, 2007; Pan *et al.*, 2020)

เมื่อพิจารณาความสัมพันธ์ของพารามิเตอร์ของเส้นตอบสนองต่อแสงกับค่า  $C_a$  พบร่วมกันของค่า  $C_a$  ไม่มีผลต่อค่าความคุมความโค้ง ( $\Theta$ ) ของเส้นตอบสนองต่อแสงและค่า  $I_c$  ของใบกะเพรา (Table 2) โดยการเพิ่มขึ้นของระดับ  $C_a$  ทำให้ค่า  $\Theta$  และค่าอัตราหายใจในที่มืด ( $R_d$ ) ลดลงอย่างมีนัยสำคัญ ในขณะที่ค่า  $I_c$  มีค่าเพิ่มสูงขึ้นอย่างมีนัยสำคัญตามการเพิ่มขึ้นของค่า  $C_a$  (Table 2) ซึ่งการลดลงของค่า  $R_d$  และการเพิ่มขึ้นของค่า  $I_c$  ภายใต้การเพิ่มขึ้นของระดับ  $\text{CO}_2$  ของอากาศ ยังพบในพืชอื่นหลายชนิด เช่น ผ้าယ (Zhao *et al.*, 2004), ถั่วปากอ้อ (Avola *et al.*, 2008), ผักโภม (ศรีสังวาลย์ และสุนทรี, 2554), ข้าว (ศรีสังวาลย์ และสุนทรี, 2559) และผักกาดหอม (Song *et al.*, 2022)

**Table 2** Summary of parameters of light response curves of holy basil 'OC059' under six levels of  $\text{CO}_2$  concentrations ( $C_a$ ). Maximum gross photosynthetic rate ( $A_{max}$ ), quantum efficiency ( $\infty$ ), curvature factor ( $\Theta$ ), dark respiration rate ( $R_d$ ), light saturation point ( $I_s$ ), and light compensation point ( $I_c$ ).

Parameters	$C_a, \mu\text{molCO}_2 \text{ mol}^{-1}$						p-value
	400	600	800	1000	1200	1600	
$A_{max}, \mu\text{molCO}_2 \text{ m}^{-2} \text{ s}^{-1}$	35.0 ± 2.2b	44.5 ± 3.2 <sup>ab</sup>	55.2 ± 3.8 <sup>a</sup>	57.1 ± 7.0 <sup>a</sup>	52.5 ± 3.1 <sup>a</sup>	47.6 ± 5.1 <sup>ab</sup>	**
$\infty, \text{molCO}_2 \text{ mol}^{-1} \text{ PPF}$	0.056 ± 0.001 <sup>ab</sup>	0.061 ± 0.003 <sup>a</sup>	0.060 ± 0.005 <sup>a</sup>	0.052 ± 0.005 <sup>ab</sup>	0.044 ± 0.006 <sup>bc</sup>	0.037 ± 0.003 <sup>c</sup>	**
$\Theta$	0.82 ± 0.08	0.80 ± 0.06	0.78 ± 0.06	0.81 ± 0.02	0.84 ± 0.09	0.80 ± 0.07	ns
$R_d, \mu\text{molCO}_2 \text{ m}^{-2} \text{ s}^{-1}$	3.51 ± 0.51 <sup>ab</sup>	3.42 ± 0.51 <sup>ab</sup>	3.58 ± 0.42 <sup>a</sup>	3.22 ± 0.22 <sup>abc</sup>	2.30 ± 0.27 <sup>bc</sup>	2.08 ± 0.14 <sup>c</sup>	**
$I_s, \mu\text{molPPF m}^{-2} \text{ s}^{-1}$	918.1 ± 126.2 <sup>c</sup>	1052.5 ± 55.9 <sup>bc</sup>	1254.6 ± 78.6 <sup>abc</sup>	1348.5 ± 117.9 <sup>ab</sup>	1382.1 ± 91.2 <sup>ab</sup>	1450.1 ± 165.7 <sup>a</sup>	**
$I_c, \mu\text{molPPF m}^{-2} \text{ s}^{-1}$	64.6 ± 9.5	57.3 ± 7.0	60.4 ± 2.6	62.8 ± 2.0	53.6 ± 2.4	57.7 ± 8.1	ns

Values are means ± SE (n = 3). Means within a row followed by the different letters are significantly different (Duncan's New Multiple Range test, p < 0.05). \*\*, statistically significant difference at p < 0.05; ns = non-significant difference at p < 0.05.

## สรุป

การตอบสนองของกระบวนการสังเคราะห์แสงของตะไคร้ ภายใต้ PPF หลายระดับในช่วง 0–2500  $\mu\text{molPPF m}^{-2} \text{s}^{-1}$  และค่า  $C_a$  หลายระดับในช่วง 400–1600  $\mu\text{molCO}_2 \text{ mol}^{-1}$  พบว่า ในตะไคร้ ภายใต้ระดับ  $C_a$  ในอัตราสูงที่ 400  $\mu\text{molCO}_2 \text{ mol}^{-1}$  มีค่า  $A_{max}$  เท่ากับ 35.0  $\mu\text{molCO}_2 \text{ m}^{-2} \text{s}^{-1}$  มีค่า  $I_c$  ซึ่งเป็นระดับ PPF ที่ทำให้อัตราสังเคราะห์แสงสูงสุด อยู่ที่  $918.1 \mu\text{molPPF m}^{-2} \text{s}^{-1}$  และมีค่า  $I_s$  ซึ่งเป็นระดับ PPF ที่ทำให้อัตราสังเคราะห์แสงเท่ากับอัตราหายใจ เท่ากับ 64.6  $\mu\text{molPPF m}^{-2} \text{s}^{-1}$  การเพิ่มสูงขึ้นของค่า  $C_a$  ส่งผลโดยตรงให้ปากใบของตะไคร้ปิดแอบลงมากขึ้น ทั้งค่า  $g_s$ ,  $g_{s max}$ ,  $E$ ,  $E_{max}$ ,  $\phi_{PSII}$ ,  $ETR/A$ ,  $\infty$  และ  $Rd$  ลดลง ในขณะที่ค่า  $A$ ,  $A_{max}$ ,  $WUE$  และ  $I_c$  เพิ่มสูงขึ้น เมื่อค่า  $C_a$  เพิ่มขึ้น จากระดับอัตราสูงที่ โดยระดับ  $C_a$  ที่เหมาะสมต่อการซักนำให้ตะไคร้มีอัตราสังเคราะห์แสงสูงสุด คือ  $1000 \mu\text{molCO}_2 \text{ mol}^{-1}$

## กิตติกรรมประกาศ

งานวิจัยนี้ได้รับการสนับสนุนจากศูนย์ความเป็นเลิศด้านเทคโนโลยีชีวภาพเกษตร สำนักงานปลัดกระทรวงการอุดมศึกษา วิทยาศาสตร์ วิจัยและนวัตกรรม ขอขอบคุณศูนย์เทคโนโลยีชีวภาพเกษตรมหาวิทยาลัยเกษตรศาสตร์ สำหรับอุปกรณ์และเครื่องมือที่ใช้ในการทดลอง และขอขอบคุณศูนย์วิจัยและพัฒนาพืชผักเขตวิจัย คณบดีเกษตรฯ กำแพงแสน มหาวิทยาลัยเกษตรศาสตร์ สำหรับเม็ดพันธุ์โรงเรือน และสถานที่ในการทดลอง

## เอกสารอ้างอิง

- วินัย อุดขาว, ภดุศนันท์ เอี่ยมເກສວຮຣນ และສູນທີ່ ຍິງໜ້າວາລົມ. 2559. การตอบสนองของปากใบและกระบวนการสังเคราะห์แสงของตะไคร้ คุณลักษณะพิเศษ ความสามารถต่อสภาพอากาศ นำจากการซักนำด้วยพอลิເອີລິລືນໄກລຄອດ. วารสารวิทยาศาสตร์เกษตร 47(2): 149–161.
- ศรีสังวาลย์ ລາຍວິເສະກຸດ ແລະສູນທີ່ ຍິງໜ້າວາລົມ. 2554. ເສັ້ນຕົບສັນອົງຕ່ອແສງຂອງໃບຜັກໂຄມ

ກາຍໃຫ້ຄວາມເຂັ້ມຂັ້ນຫລາຍຈະດັບຊອງ  
ຄົງປົນໄດ້ອອກໄໂດ໌. ວາງສາວິທີຍາສັດ  
ເກະທົດ 42(2): 193–202.

ศรีสังวาลຍ໌ ລາຍວິເສະກຸດ ແລະສູນທີ່ ຍິງໜ້າວາລົມ. 2559. ສັກຍົກພາກສັງເຄຣະທີ່ແສງຂອງໃບອົງຂອງໜ້າວັນຖື ກຂ41, ປຸຖົມຮານ1 ແລະ ຂ້າວດອກນະລິ105 ກາຍໃຫ້ການເພີ່ມຂຶ້ນຂອງ  $\text{CO}_2$ . ວາງສາວິທີຍາສັດເກະທົດ 48(1): 36–47.

Avola, G., V. Cavallaro, C. Patane` and E. Riggi. 2008. Gas exchange and photosynthetic water use efficiency in response to light,  $\text{CO}_2$  concentration and temperature in *Vicia faba*. Journal of Plant Physiology 165(8): 796–804.

Barton, C.V.M., R.A. Duursma, B.E. Medlyn, D.S. Ellsworth, D. Eamus, D.T. Tissue, M.A. Adams, J. Conroy, K.Y. Crous, M. Liberloo, M. Löw, S. Linder and R.E. McMurtrie. 2012. Effects of elevated atmospheric  $[\text{CO}_2]$  on instantaneous transpiration efficiency at leaf and canopy scales in *Eucalyptus saligna*. Global Change Biology 18(2): 585–595.

Biehler, K and H. Fock. 1996. Evidence for the contribution of the mehler-peroxidase reaction in dissipating excess electrons in drought-stressed wheat. Plant Physiology 112(1): 265–272.

Bowes., G. 1993. Facing the inevitable: plants and increasing atmospheric  $\text{CO}_2$ . Annual Review of Plant Physiology and Plant Molecular Biology 44: 309–332.

Dong, J., N. Gruda, S. K. Lam, X. Li and Z. Duan. 2018. Effects of elevated  $\text{CO}_2$  on nutritional quality of vegetables: A review. Frontiers in Plant Science 9(924): 1–11.

- Gestel, N.C., A.D. Nesbit, E.P. Gordon, C. Green, P.W. Pare, L. Thompson, E.B. Peffley and D.T. Tissue. 2005. Continuous light may induce photosynthetic downregulation in onion – consequences for growth and biomass partitioning. *Physiologia Plantarum* 125(2): 235–246.
- Imaizumi, T., P. Jitareerat, N. Laohakunjit and N. Kaisangsri. 2021. Effect of microwave drying on drying characteristics, volatile compounds and color of holy basil (*Ocimum tenuiflorum* L.). *Agriculture and Natural Resources* 55: 1–6.
- Lang, Y., M. Wang, G.C. Zhang and Q.K. Zhao. 2013. Experimental and simulated light responses of photosynthesis in leaves of three tree species under different soil water conditions. *Photosynthetica* 51(3): 370–378.
- Li, D., J. Dong, N.S. Gruda, X. Li and Z. Duan. 2022. Elevated root-zone temperature promotes the growth and alleviates the photosynthetic acclimation of cucumber plants exposed to elevated [CO<sub>2</sub>]. *Environmental and Experimental Botany* 194: 1–16.
- Mamatha, H., N.K. Srinivasa Rao, R.H. Laxman, K.S. Shivashankara, R.M. Bhatt and K.C. Pavithra. 2014. Impact of elevated CO<sub>2</sub> on growth, physiology, yield, and quality of tomato (*Lycopersicon esculentum* Mill) cv. Arka Ashish. *Photosynthetica* 52(4): 519–528.
- Pan, T., Y. Wang, L. Wang, J. Ding, Y. Cao, G. Qin, L. Yan, L. Xi, J. Zhang and Z. Zou. 2020. Increased CO<sub>2</sub> and light intensity regulate growth and leaf gas exchange in tomato. *Physiologia Plantarum* 168(3): 694–708.
- Park, K.S., K. Bekhzod, J.K. Kwon and J.E. Son. 2016. Development of a coupled photosynthetic model of sweet basil hydroponically grown in plant factories. *Horticulture Environment and Biotechnology* 57(1): 20–26.
- Pérez-López, U., A. Robredo, M. Lacuesta, A. Mena-Petite and A. Muñoz-Rueda. 2009. The impact of salt stress on the water status of barley plants is partially mitigated by elevated CO<sub>2</sub>. *Environmental and Experimental Botany* 66(3): 463–470.
- Raksakantong, P., S. Siriamornpun, J. Ratseewo and N. Meeso. 2011. Optimized drying of kaprow leaves for industrial production of holy basil spice powder. *Drying Technology* 29: 974–983.
- Schreiber, U., W. Bilger, H. Hormann and C. Neubauer. 1998. Chlorophyll fluorescence as a diagnostic tool: basics and some aspects of practical relevance. 320-336 pp. in: A.S. Raghavendra AS (ed) *Photosynthesis: A Comprehensive Treatise*. Cambridge University Press, Cambridge.
- Sharkey, T.D., C.J. Bernacchi, G.D. Farquhar and E.L. Singsaas. 2007. Fitting photosynthetic carbon dioxide response curves for C<sub>3</sub> leaves. *Plant, Cell and Environment* 30(9): 1035–1040.
- Simkin, A.J., L. McAusland, L.R. Headland, T. Lawson and C. A. Raines. 2015.

- Multigene manipulation of photosynthetic carbon assimilation increases CO<sub>2</sub> fixation and biomass yield in tobacco. Journal of Experimental Botany 66(13): 4075–4090.
- Song, H., P. Wu, X. Lu, B. Wang, T. Song, Q. Lu, M. Li and X. Xu. 2022. Comparative physiological and transcriptomic analyses reveal the mechanisms of CO<sub>2</sub> enrichment in promoting the growth and quality in *Lactuca sativa*. PLOS ONE. 18(2).
- Taiz, L and E. Zeiger. 2006. Plant Physiology. 4th ed. Sinauer Associates, Inc. Publishers, Massachusetts. 764 p.
- Thornley, J.H and I.R. Johnson. 1990. Plant and Crop Modeling — A Mathematical Approach to Plant and Crop Physiology. Clarendon Press, Oxford. UK. 660 p.
- Vanaja, M., S.K. Yadav, G. Archana, N. Jyothi Lakshmi, P.R. Ram Reddy, P. Vagheera, S.K. Abdul Razak, M. Maheswari and B. Venkateswarlu. 2011. Response of C<sub>4</sub> (maize) and C<sub>3</sub> (sunflower) crop plants to drought stress and enhanced carbon dioxide concentration. Plant, Soil and Environment 57(5): 207–215.
- Wongpraneekul, A., T. Havananda and K. Luengwilai. 2022. Variation in aroma level of holy basil (*Ocimum tenuiflorum* L.) leaves is related to volatile composition, but not trichome characteristics. Journal of Applied Research on Medicinal and Aromatic Plants 27: 1–8.
- Zhao, D., K.R. Reddy, V.G. Kakani, A.R. Mohammed, J.J. Read and W. Gao. 2004. Leaf and canopy photosynthetic characteristics of cotton (*Gossypium hirsutum*) under elevated CO<sub>2</sub> concentration and UV-B radiation. Journal of Plant Physiology 161(5): 581–590.